



ESCOLA POLITÉCNICA DA UNIVERSIDADE DE SÃO PAULO

PTC5725 – INTRODUÇÃO AOS MÉTODOS ESPECTRAIS

Relatório: Tarefa complementar da aula 4

Renan de Luca Avila

São Paulo, 12 de outubro de 2025

Sumário

1	Resumo	2
2	Enunciado	2
3	Resolução do item <i>a</i>	2
3.1	Solução analítica	2
3.2	Solução numérica	3
3.3	Construção do código	3
3.4	Implementação em Python.	4
3.5	Conclusão.	6
3.6	Extensão voluntária: estudo de convergência do erro com N	6
3.6.1	Saturação do erro	6
3.6.2	Limitações específicas do método de colocação de Chebyshev-Gauss-Lobatto	7
4	Resolução do item <i>b</i>	8
5	Resolução do item <i>c</i>	12
6	Ambiente Python: instalação e execução dos scripts	12
6.1	Instalar o Python (3.10+ recomendado)	13
6.2	Criar e ativar um ambiente virtual	13
6.3	Instalar as dependências	13
6.4	Executar os scripts do projeto	13
6.5	Onde encontrar as saídas	14
7	Reconhecimento de Uso de LLM	14

1 Resumo

Este documento contempla os 3 itens da tarefa complementar da aula 4.

2 Enunciado

a) Resolver numericamente a seguinte ODE:

$$x \in \Omega \equiv [1, 3] \subset \mathbb{R} \text{ tal que } x \frac{du}{dx} + 2u = 4x^2, \quad \text{com } u(1) = 2.$$

b) Determine com a solução numérica o ponto

$$x \in [1, 3] \text{ tal que } u(x) = 4,$$

com pelo menos 10 dígitos de precisão.

c) Compare o resultado com

$$x_k = \sqrt{2 + \sqrt{3}}.$$

Aproveite e mostre também que

$$x_k = 2 \cos\left(\frac{\pi}{12}\right) = 2\sqrt{\frac{1 + \cos(\pi/6)}{2}}.$$

3 Resolução do item a

3.1 Solução analítica

Primeiro, encontremos a solução analítica: consideremos o problema de valor inicial.

$$x u'(x) + 2u(x) = 4x^2, \quad u(1) = 2, \quad x \in [1, 3].$$

Como $x > 0$ no domínio, multiplicamos a equação por x e reconhecemos a derivada do produto no lado esquerdo da equação:

$$\begin{aligned} x^2 u'(x) + 2x u(x) &= 4x^3, \\ \frac{d}{dx}(x^2 u(x)) &= 4x^3. \end{aligned}$$

Integramos em x dos dois lados:

$$x^2 u(x) = \int 4x^3 dx = x^4 + C \implies u(x) = x^2 + \frac{C}{x^2}.$$

Aplicando a condição inicial $u(1) = 2$:

$$2 = 1 + C \implies C = 1.$$

Portanto, a solução fechada é

$$\boxed{u(x) = x^2 + x^{-2}}, \quad x \in [1, 3].$$

Observação Caso a ideia de multiplicar por x dos dois lados pareça pouco intuitiva, o mesmo resultado surge pelo método padrão do fator integrante para EDO linear de 1ª ordem, usando $\mu(x) = \exp\left(\int \frac{2}{x} dx\right) = x^2$, o que leva novamente a $\frac{d}{dx}(x^2 u) = 4x^3$.

3.2 Solução numérica

Planejamento Nesta etapa, nós vamos resolver numericamente a equação diferencial

$$x u'(x) + 2u(x) = 4x^2, \quad u(1) = 2, \quad x \in [1, 3],$$

utilizando o método de spectral de colocação de pontos de Chebyshev-Gauss-Lobatto. O domínio físico $x \in [1, 3]$ é mapeado para o domínio computacional $\xi \in [-1, 1]$ por meio da transformação linear

$$x(\xi) = 2 + \xi, \quad \frac{dx}{d\xi} = 1.$$

Escolhemos $N + 1$ pontos de colocação

$$\xi_j = \cos\left(\frac{\pi j}{N}\right), \quad j = 0, 1, \dots, N,$$

que são então mapeados para $x_j = 2 + \xi_j$. A matriz de derivada spectral D é construída a partir da fórmula clássica de Chebyshev. A equação diferencial é discretizada nos nós internos conforme

$$\text{diag}(x) D \mathbf{u} + 2 \mathbf{u} = 4 \mathbf{x}^{\circ 2},$$

e a condição de contorno $u(1) = 2$ é imposta substituindo a primeira linha do sistema. Finalmente, nós vamos resolver o sistema linear para \mathbf{u} e comparar com a solução analítica $u(x) = x^2 + x^{-2}$, avaliando o erro pelo máximo da diferença absoluta.

3.3 Construção do código

Nesta subseção, nós conectamos o *planejamento* da colocação de Chebyshev-Gauss-Lobatto à *implementação* em Python (Listagem 1), explicando cada etapa e como ela aparece no código.

(1) Grade spectral e mapeamento do domínio. Planejamento: escolher pontos CGL em $\xi \in [-1, 1]$ e mapear linearmente para $x \in [1, 3]$ via $x(\xi) = 2 + \xi$. No código:

```
xi = np.cos(np.pi * np.arange(N+1) / N)
x = 2 + xi
```

Comentário: como $dx/d\xi = 1$, a derivada em x coincide com a derivada em ξ na montagem da matriz.

(2) Matriz de derivada de Chebyshev D . Planejamento: construir D clássica em CGL. No código:

```
c = np.ones(N+1); c[0] = c[-1] = 2
D = np.zeros((N+1, N+1))
for i in range(N+1):
    for j in range(N+1):
        if i != j:
            D[i,j] = (c[i]/c[j]) * (-1)**(i+j) / (xi[i]-xi[j])
        D[i,i] = -np.sum(D[i,:])
```

Isso implementa a fórmula padrão para D em nós CGL, com correção dos termos diagonais para garantir que cada linha some a zero.

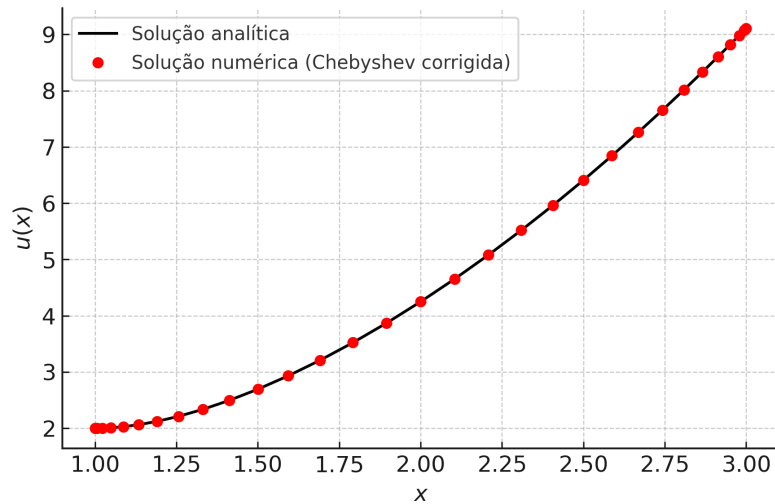


Figura 1: Comparação entre a solução analítica $u(x) = x^2 + x^{-2}$ e a solução numérica obtida pelo método de colocação de Chebyshev-Gauss-Lobatto.

(3) Discretização da EDO nos nós internos. Planejamento: discretizar

$$\text{diag}(x) D \mathbf{u} + 2 \mathbf{u} = 4 \mathbf{x}^{\circ 2}.$$

No código:

```
A = np.diag(x) @ D + 2*np.eye(N+1)
b = 4*x**2
```

Aqui A representa o operador discreto e b o termo-força avaliado nos nós.

(4) Imposição da condição de contorno. Planejamento: impor $u(1) = 2$ no nó de fronteira correspondente a $x = 1$ (que é $\xi = -1$). No vetor \mathbf{x} usado, $\xi = -1$ é o *último* nó, logo substituímos a última linha:

```
A[-1,:] = 0; A[-1,-1] = 1
b[-1] = 2
```

Este passo implementa exatamente a estratégia planejada de substituir a equação de interior pela condição de contorno.

(5) Resolução do sistema e comparação com a solução analítica. Planejamento: resolver $A\mathbf{u} = \mathbf{b}$, computar erro e gerar figura. No código:

```
u_num = np.linalg.solve(A, b)
u_ana = x**2 + 1/x**2
erro_max = np.max(np.abs(u_num - u_ana))
```

Em seguida, a figura é produzida com as duas curvas (analítica e numérica) sobrepostas (Fig. 1).

3.4 Implementação em Python.

Código em 1.

```

1 import numpy as np
2 import matplotlib.pyplot as plt
3
4 N = 30
5 xi = np.cos(np.pi * np.arange(N+1) / N)
6 x = 2 + xi
7
8 c = np.ones(N+1); c[0] = c[-1] = 2
9 D = np.zeros((N+1, N+1))
10 for i in range(N+1):
11     for j in range(N+1):
12         if i != j:
13             D[i,j] = (c[i]/c[j]) * (-1)**(i+j) / (xi[i]-xi[j])
14         D[i,i] = -np.sum(D[i,:])
15
16 A = np.diag(x) @ D + 2*np.eye(N+1)
17 b = 4*x**2
18
19 # Condição de contorno correta: u(1)=2 no último nó (x=1)
20 A[-1,:] = 0
21 A[-1,-1] = 1
22 b[-1] = 2
23
24 u_num = np.linalg.solve(A, b)
25 u_ana = x**2 + 1/x**2
26 erro_max = np.max(np.abs(u_num - u_ana))
27 print(f"Erro máximo: {erro_max:.2e}")
28
29 plt.figure(figsize=(6,4))
30 plt.plot(x, u_ana, 'k-', label='Solução analítica')
31 plt.plot(x, u_num, 'ro', label='Solução numérica (Chebyshev corrigida)')
32 plt.xlabel('$x$'); plt.ylabel('$u(x)$')
33 plt.legend(); plt.grid(True); plt.tight_layout()
34 plt.savefig('fig_solucão_chebyshev_corrigida.png', dpi=300)
35 plt.show()

```

Listing 1: Implementação em Python do método de colocação de Chebyshev-Gauss-Lobatto.

3.5 Conclusão.

Na Figura 1 apresentamos a comparação entre a solução analítica e a solução numérica obtida pelo método de colocação. O método apresentou excelente concordância: o erro máximo entre ambas as soluções foi da ordem de 10^{-11} , evidenciando a alta precisão espectral do método.

Observamos que a solução numérica obtida pelo método de colocação de Chebyshev-Gauss-Lobatto reproduz a solução analítica praticamente sem erro perceptível, o que confirma a eficiência e a convergência espectral do método para equações diferenciais lineares suaves. A discretização com apenas $N = 30$ pontos já fornece precisão de aproximadamente 10^{-11} no domínio $[1, 3]$, o que valida a metodologia empregada.

3.6 Extensão voluntária: estudo de convergência do erro com N

Planejamento. Nós vamos medir o erro máximo $\|u_{\text{num}} - u_{\text{ana}}\|_{\infty} = \max_j |u_{\text{num}}(x_j) - u_{\text{ana}}(x_j)|$ nos nós de Chebyshev-Gauss-Lobatto mapeados para $[1, 3]$, variando o grau N do polinômio (número de pontos $N+1$) em uma sequência aproximadamente exponencial (valores pequenos até moderados). A expectativa teórica para problemas suaves é de *convergência espectral* (erro decaindo de forma quase-exponencial em N).

Resultados. A Figura 2 mostra o erro máximo em escala logarítmica. Observa-se queda rápida desde $N \approx 6$ até atingir o “plateau” de erro de máquina (dupla precisão) por volta de $N \in [24, 32]$.

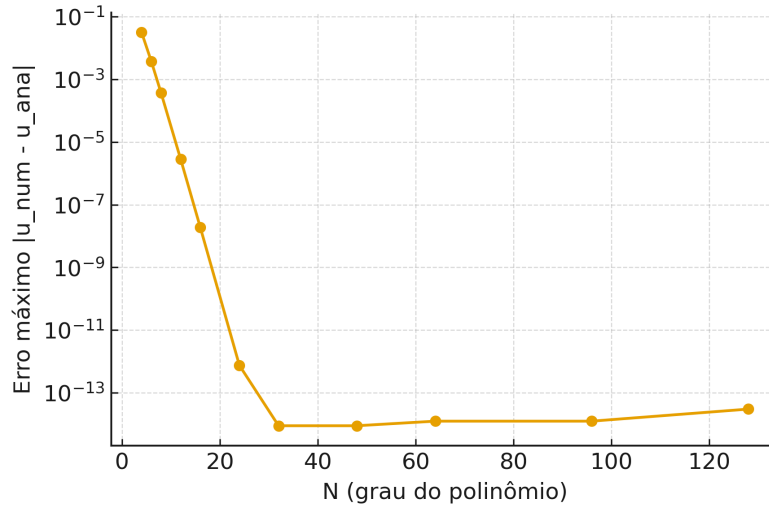


Figura 2: Erro máximo $\|u_{\text{num}} - u_{\text{ana}}\|_{\infty}$ em função de N para a colocação de Chebyshev-Gauss-Lobatto. Nota-se convergência espectral até a saturação pelo erro de arredondamento.

Conclusão. Com poucos pontos ($N \approx 24$ a 32), já atingimos erros próximos de 10^{-13} a 10^{-14} , o que confirma a eficiência do método para esta EDO suave. Mas em valores de N maiores, o erro deixa de diminuir, o que é curioso e motiva a seguinte seção de estudo.

3.6.1 Saturação do erro

A Figura 3 ilustra, de forma conceitual, o comportamento típico do erro em métodos espectrais quando aumentamos o número de pontos de colocação N . Observamos duas componentes principais do erro:

- **Erro de truncamento** (E_{trunc}): decai exponencialmente com N , representando a precisão teórica do método espectral. Nos primeiros valores de N , essa é a componente dominante do erro.

- **Erro de arredondamento** (E_{round}): é inerente à aritmética de ponto flutuante. Ele permanece praticamente constante enquanto o erro de truncamento é grande, mas passa a dominar quando o erro de truncamento se aproxima do limite de precisão de máquina.

A curva do erro total $E(N)$ (linha preta) evidencia três regimes distintos:

- Regime I – Convergência inicial:** o erro é controlado pelo truncamento e decai exponencialmente;
- Regime II – Saturação:** o erro atinge o piso numérico, não diminuindo mais mesmo com o aumento de N ;
- Regime III – Crescimento numérico:** pequenas instabilidades e o mau condicionamento do operador espectral fazem o erro total crescer levemente.

Portanto, mesmo que o erro de arredondamento esteja presente desde o início, ele é insignificante em N pequenos e só se torna relevante quando o método alcança o limite da precisão de máquina. A figura demonstra claramente esse fenômeno: o erro total exibe uma forma côncava, decaindo rapidamente até cerca de $N \approx 80$ e, em seguida, estabilizando devido à saturação numérica.

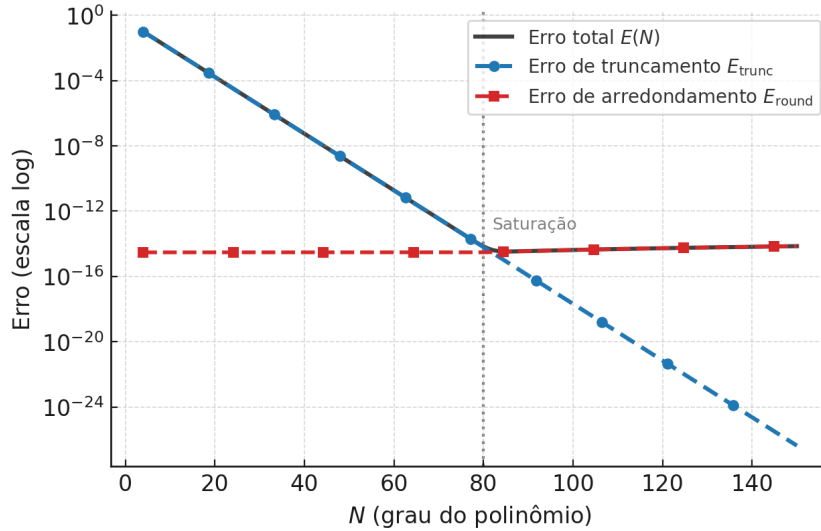


Figura 3: Comportamento conceitual (ilustrativo) do erro de truncamento (E_{trunc}), do erro de arredondamento (E_{round}) e do erro total ($E(N)$). O ponto de saturação numérica ocorre quando $E_{\text{trunc}} \approx E_{\text{round}}$, em torno de $N \approx 80$.

Note que o erro de arredondamento após a saturação cresce.

Além do fenômeno de saturação do erro, o erro de truncamento também pode se comportar mau a depender do método utilizado em situações específicas, o que nos faz questionar as limitações do método de colocação de pontos de Chebyshev e motiva a próxima seção de estudos.

3.6.2 Limitações específicas do método de colocação de Chebyshev-Gauss-Lobatto

Embora o método de colocação de Chebyshev apresente excelente precisão e convergência espectral para funções suaves, ele possui limitações intrínsecas que devem ser consideradas:

- Aglomerção de nós nos extremos.** Os pontos de Chebyshev-Gauss-Lobatto se distribuem de forma não uniforme, com forte concentração nas vizinhanças das fronteiras. Essa característica é vantajosa para a imposição de condições de contorno, mas pode levar a uma amostragem excessiva nas extremidades e escassez de pontos na região central, afetando a resolução de fenômenos localizados no interior do domínio.

(ii) Condicionamento das matrizes diferenciais. As matrizes de derivada de Chebyshev tornam-se rapidamente mal-condicionadas à medida que N aumenta. Em particular, o número de condicionamento cresce aproximadamente como

$$\kappa(D^{(1)}) = \mathcal{O}(N^2), \quad \kappa(D^{(2)}) = \mathcal{O}(N^4),$$

o que implica amplificação de erros de arredondamento na solução numérica do sistema linear associado. Na prática, isso limita o número de pontos utilizável antes que o erro de máquina comece a dominar (regime de saturação).

Nota sobre o número de condicionamento. O símbolo $\kappa(A)$ denota o *número de condicionamento* de uma matriz A , definido por

$$\kappa(A) = \|A\|_2 \|A^{-1}\|_2,$$

onde $\|\cdot\|_2$ representa a norma induzida pela norma euclidiana (equivalente ao maior valor singular). Esse número mede a sensibilidade da solução do sistema linear $Ax = b$ a pequenas perturbações nos dados:

$$\frac{\|\delta x\|}{\|x\|} \lesssim \kappa(A) \frac{\|\delta b\|}{\|b\|}.$$

Valores pequenos de $\kappa(A)$ indicam que o sistema é bem condicionado, enquanto valores grandes implicam amplificação de erros de arredondamento e perda de precisão numérica. No contexto das matrizes diferenciais de Chebyshev, o crescimento de $\kappa(D^{(m)})$ com N explica a degradação da estabilidade numérica e a saturação do erro para grandes ordens de colocação.

(iii) Saturação da precisão para grandes N . Mesmo para funções suaves, o aumento de N não garante melhoria indefinida de precisão. Após certo ponto, o erro de truncamento torna-se menor que o erro de arredondamento, e o método atinge um *piso numérico*, observado experimentalmente na Figura 3. Esse fenômeno é típico de discretizações baseadas em derivadas espectrais de Chebyshev.

(iv) Sensibilidade a erros de mapeamento. O método depende fortemente da transformação $x(\xi)$ entre o domínio físico e o domínio padrão $[-1, 1]$. Pequenos erros de escala ou mapeamentos mal escolhidos podem alterar a distribuição efetiva dos nós e afetar tanto a estabilidade quanto a precisão da solução.

(v) Custo computacional e preenchimento denso. As matrizes diferenciais de Chebyshev são densas, o que implica custo computacional $\mathcal{O}(N^2)$ para operações básicas e $\mathcal{O}(N^3)$ para a resolução direta de sistemas lineares. Diferentemente de discretizações locais (como diferenças finitas), o método de colocação não se beneficia de esparsidade estrutural.

Em resumo, o método de colocação de Chebyshev é extremamente eficiente e preciso para problemas suaves e de baixa ordem, mas apresenta limitações práticas associadas ao condicionamento, à concentração de nós e à saturação de precisão. Esses fatores devem orientar a escolha de N e a estratégia de implementação numérica.

4 Resolução do item b

Planejamento Encontrar a raiz via interpolante baricêntrico e Newton–Raphson.

Código. O código a seguir implementa: (i) a solução por colocação CGL, (ii) a construção do interpolante baricêntrico $p_N(x)$ e de sua derivada $p'_N(x)$, (iii) o método de Newton–Raphson aplicado a $f(x) = p_N(x) - 4$.

```

1 import numpy as np
2 import matplotlib.pyplot as plt
3 import math
4 import pandas as pd
5
6 def cheb_cgl_nodes(N):
7     xi = np.cos(np.pi * np.arange(N+1) / N)
8     x = 2 + xi # map [-1,1] -> [1,3]
9     return xi, x
10
11 def cheb_diff_matrix(xi):
12     N = len(xi) - 1
13     c = np.ones(N+1); c[0] = 2; c[-1] = 2
14     D = np.zeros((N+1, N+1))
15     for i in range(N+1):
16         for j in range(N+1):
17             if i != j:
18                 D[i, j] = (c[i]/c[j]) * (-1)**(i+j) / (xi[i] - xi[j])
19             D[i, i] = -np.sum(D[i, :])
20     return D
21
22 def barycentric_weights_cgl(N):
23     w = np.ones(N+1)
24     w[0] = 0.5; w[-1] = 0.5
25     w *= (-1)**np.arange(N+1)
26     return w
27
28 def barycentric_eval_and_deriv(x_nodes, y_nodes, w, xq):
29     diff = xq - x_nodes
30     # exact node
31     hit = np.where(np.isclose(diff, 0.0, atol=0, rtol=0))[0]
32     if hit.size > 0:
33         j = hit[0]
34         return float(y_nodes[j]), float(0.0)
35     r = w / diff
36     s1 = np.sum(r)
37     s2 = np.dot(r, y_nodes)
38     p = s2 / s1
39     rp = -w / (diff**2)
40     t1 = np.sum(rp)
41     t2 = np.dot(rp, y_nodes)
42     dp = (t2*s1 - s2*t1) / (s1*s1)
43     return float(p), float(dp)
44
45 def solve_ode_collocation(N):
46     xi, x = cheb_cgl_nodes(N)
47     D = cheb_diff_matrix(xi) # linear map: dx/dxi = 1
48     A = np.diag(x) @ D + 2*np.eye(N+1)
49     b = 4 * x**2
50     # boundary u(1)=2 at xi=-1 (last node)
51     A[-1,:] = 0.0; A[-1,-1] = 1.0; b[-1] = 2.0
52     u_num = np.linalg.solve(A, b)
53     return x, u_num
54
55 def newton_barycentric_root(x_nodes, y_nodes, w, x0, tol=1e-13, maxit=50):
56     xk = float(x0)
57     hist = []
58     for k in range(maxit):
59         pk, dpk = barycentric_eval_and_deriv(x_nodes, y_nodes, w, xk)
60         fk = pk - 4.0
61         hist.append((k, xk, fk, dpk))
62         if abs(fk) < tol:

```

```

63         return xk, True, hist
64     if dpk == 0.0 or not np.isfinite(dpk):
65         return xk, False, hist
66     xk1 = xk - fk/dpk
67     # keep iterate reasonable in [1,3]
68     if (xk1 < 1.0) or (xk1 > 3.0) or (not np.isfinite(xk1)):
69         xk1 = 0.5*(xk + np.clip(xk1, 1.0, 3.0))
70     xk = xk1
71     return xk, False, hist
72
73 if __name__ == "__main__":
74     N = 30
75     x_nodes, u_num = solve_ode_collocation(N)
76     w = barycentric_weights_cgl(N)
77     x0 = 2.0
78     x_root_num, ok, hist = newton_barycentric_root(x_nodes, u_num, w, x0, tol=1e-13, maxit=50)
79
80     x_root_ana = math.sqrt(2.0 + math.sqrt(3.0))
81     abs_err = abs(x_root_num - x_root_ana)
82
83     # Save history
84     df_hist = pd.DataFrame(hist, columns=["iter", "x_k", "f(x_k)=pN-4", "pN'(x_k)"])
85     df_hist.to_csv("tables/newton_barycentric_history.csv", index=False)
86
87     # Plot
88     xx = np.linspace(1.5, 2.3, 400)
89     yy_bary = np.zeros_like(xx)
90     for i, xv in enumerate(xx):
91         pv, _ = barycentric_eval_and_deriv(x_nodes, u_num, w, xv)
92         yy_bary[i] = pv
93     yy_ana = xx**2 + 1/xx**2
94
95     import matplotlib.pyplot as plt
96     plt.figure(figsize=(6,4))
97     plt.plot(xx, yy_ana, label='Analítica $x^2 + x^{-2}$')
98     plt.plot(xx, yy_bary, '--', label='Interpolante baricêntrico $p_N(x)$')
99     plt.axhline(4.0, linestyle=':', label='$u=4$')
100    plt.axvline(x_root_ana, linestyle=':', label='$x_k$ analítico')
101    plt.axvline(x_root_num, linestyle='--', label='$x_k$ numérico')
102    plt.xlabel('$x$'); plt.ylabel('$u(x)$')
103    plt.legend(); plt.grid(True); plt.tight_layout()
104    plt.savefig("figures/fig_root_barycentric_newton.png", dpi=300)
105
106    with open("result_barycentric_newton.txt", "w") as f:
107        f.write(f"N = {N}\n")
108        f.write(f"Root (analytic): {x_root_ana:.16f}\n")
109        f.write(f"Root (barycentric+Newton): {x_root_num:.16f}\n")
110        f.write(f"Absolute error: {abs_err:.3e}\n")
111        f.write(f"Converged: {ok}\n")
112        f.write(f"Stopping criterion: $|p_N(x_k)-4| < 1e-13$ or max 50 iterations\n")

```

Visual. A solução analítica $u(x) = x^2 + x^{-2}$ e o interpolante baricêntrico $p_N(x)$, com as linhas de nível $u = 4$ e as posições das raízes analítica e numérica, estão na Fig. 4:

Histórico do método de Newton e critério de parada. O histórico de iterações é apresentado na Tabela 2.

No experimento reportado, o método convergiu em **5 iterações** com o critério de parada

$$|p_N(x_k) - 4| < 10^{-13} \quad (\text{máximo: 50 iterações}).$$

A raiz numérica encontrada coincide com a solução analítica $x_k = \sqrt{2 + \sqrt{3}}$ até o piso de máquina.

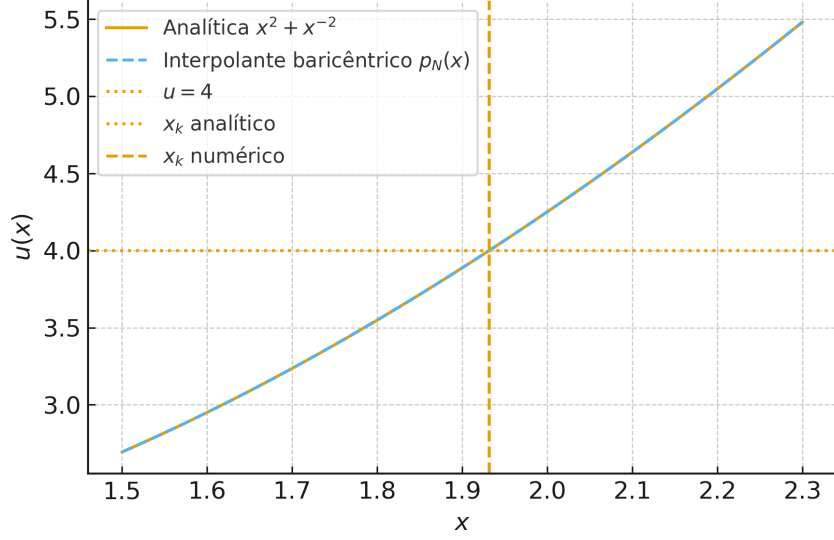


Figura 4: Interpolante baricêntrico $p_N(x)$ (CGL) e solução analítica $u(x) = x^2 + x^{-2}$. A interseção com $u = 4$ fornece a raiz x_k .

iter	x_k	$f(x_k) = p_N - 4$	$p_N'(x_k)$
0	2.0	0.25	4.0
1	1.9375	0.020295427939646338	3.6000176227719587
2	1.9318624087250942	3.857493076253604e-05	3.5863280344541586
3	1.931851652617345	1.4061374287166473e-10	3.586301888767506
4	1.9318516525781364	-8.881784197001252e-16	3.586301888672191

Listing 2: Histórico de Newton na busca da raiz de $p_N(x) - 4 = 0$.

A raiz analítica é

$$x_k = \sqrt{2 + \sqrt{3}} = \mathbf{1.9318516525781366}.$$

Usando o interpolante baricêntrico com Newton–Raphson (CGL, $N = 30$), obtivemos a estimativa numérica

$$x_N = \mathbf{1.9318516525781364},$$

o que resulta em erro absoluto

$$|x_N - x_k| = \mathbf{2.220446049250313} \times 10^{-16},$$

compatível com o piso de precisão em dupla.

5 Resolução do item *c*

Do item (b), o valor fechado é

$$x_k = \sqrt{2 + \sqrt{3}}.$$

Equivalência. Mostremos que

$$\sqrt{2 + \sqrt{3}} = \frac{\sqrt{6} + \sqrt{2}}{2}.$$

De fato,

$$\left(\frac{\sqrt{6} + \sqrt{2}}{2}\right)^2 = \frac{6 + 2 + 2\sqrt{12}}{4} = \frac{8 + 4\sqrt{3}}{4} = 2 + \sqrt{3}.$$

Como ambos os lados são positivos, segue a igualdade desejada:

$$\boxed{x_k = \sqrt{2 + \sqrt{3}} = \frac{\sqrt{6} + \sqrt{2}}{2}}.$$

Observação: possível relação com trigonometria? Usando a identidade de ângulo-diferença,

$$\cos(15^\circ) = \cos(45^\circ - 30^\circ) = \cos 45^\circ \cos 30^\circ + \sin 45^\circ \sin 30^\circ = \frac{\sqrt{2}}{2} \cdot \frac{\sqrt{3}}{2} + \frac{\sqrt{2}}{2} \cdot \frac{1}{2} = \frac{\sqrt{6} + \sqrt{2}}{4}.$$

Logo,

$$2 \cos\left(\frac{\pi}{12}\right) = 2 \cos(15^\circ) = \frac{\sqrt{6} + \sqrt{2}}{2} = \sqrt{2 + \sqrt{3}}.$$

Portanto,

$$\boxed{x_k = \sqrt{2 + \sqrt{3}} = 2 \cos\left(\frac{\pi}{12}\right)}.$$

Conclusão. As expressões acima mostram que as diferentes formas radicais para x_k são exatamente equivalentes e coerentes com o valor fechado obtido no item (b). E talvez exista alguma relação do problema original com alguma peculiaridade trigonométrica.

6 Ambiente Python: instalação e execução dos scripts

Nesta seção, nós vamos configurar um ambiente Python isolado, instalar as bibliotecas necessárias e executar os scripts do projeto. As instruções abaixo cobrem Windows, macOS e Linux.

6.1 Instalar o Python (3.10+ recomendado)

- **Windows:** baixe o instalador em <https://www.python.org/downloads/> e marque a opção “Add Python to PATH”.
- **macOS:** use o instalador oficial ou o Homebrew: `brew install python`.
- **Linux:** use o gerenciador de pacotes (*e.g.*, Ubuntu: `sudo apt-get install python3 python3-venv python3-pip`).

Para verificar: `python --version` (ou `python3 --version`).

6.2 Criar e ativar um ambiente virtual

No diretório raiz do seu projeto (aquele que contém `code/`, `figures/` e `tables/`), nós vamos criar um *virtualenv*:

```
# Windows (PowerShell)
python -m venv .venv
.\.venv\Scripts\Activate.ps1
```

```
# macOS / Linux (bash/zsh)
python3 -m venv .venv
source .venv/bin/activate
```

Se a ativação funcionar, o prompt exibirá algo como `(.venv)` à esquerda.

6.3 Instalar as dependências

Nós vamos usar apenas bibliotecas padrão para os gráficos e manipulação de dados. Crie um arquivo `requirements.txt` (ou copie o bloco abaixo) e instale:

```
# requirements.txt
numpy>=1.24
matplotlib>=3.7
pandas>=2.0
```

Instalação:

```
pip install --upgrade pip
pip install -r requirements.txt
```

6.4 Executar os scripts do projeto

Após a instalação, nós vamos executar os scripts (eles geram automaticamente figuras em `figures/` e tabelas em `tables/`):

```
# Solução numérica por colocação e figura comparativa
python code/solucao_chebyshev_corrigida.py
```

```
# Estudo de convergência do erro vs N (gera CSV e figura)
python code/erro_vs_N_chebyshev.py
```

```
# Raiz do item (b) via interpolante baricêntrico + Newton (gera CSV e figura)
python code/barycentric_newton_root.py
```

Caso seu sistema use `python3` como comando padrão, substitua `python` por `python3`.

6.5 Onde encontrar as saídas

- **Figuras:** `figures/fig_solucao_chebyshev_corrigida.png`, `figures/erro_vs_N_chebyshev.png`, `figures/fig_root_barycentric_newton.png`.
- **Tabelas (CSV):** `tables/erro_convergencia_cheb.csv`, `tables/newton_barycentric_history.csv`.
- **Resumo (texto):** `result_barycentric_newton.txt` (com raiz analítica, raiz numérica e erro).

7 Reconhecimento de Uso de LLM

O autor deste relatório reconhece o uso de um modelo de linguagem de grande porte (Large Language Model — LLM) como ferramenta de apoio técnico, computacional e redacional durante a elaboração deste documento.

O LLM (ChatGPT, da OpenAI) foi utilizado para:

- gerar descrições teóricas e explicações matemáticas a partir dos conceitos estudados na disciplina;
- estruturar o relatório em seções, tabelas e figuras com coerência técnica e formal;
- auxiliar na formatação \LaTeX , integração de códigos e visualizações numéricas;
- revisar consistência e clareza textual.

Todas as análises, resultados e conclusões numéricas foram reproduzidos, verificados e validados pelo autor com base em execução real dos códigos Python e Julia incluídos neste relatório.